

1. 緒言 本研究では、水門に作用する津波段波の衝害压を適確に推定する方法について検討し、計画津波の波压に関する3つの推定法を述べる。水門前面での津波はダム破壊時の段波に類似の現象と考えられるので、津波を段波としてシミュレートして検討した。

2. 段波の変形特性 津波が段波状となって陸上へ潮上する機構については、従来、解析的研究や特性曲線法による数値解法など多款みられる。また、Crossは別に dry bed 上を進行する段波先端付近の運動を検討している。

一方、段波に関しては Ritter による理論があり、図-1 の実線(曲線)のような水面形が求められている。著者らの実験から、段波先端の水面形は図-2 に  $\sqrt{g/h_0}$  をパラメータとして示すように、段波先端は上方に凸な水面形である。

3. これは底面摩擦効果によるものと考えられる。底面摩擦の効果は段波の波速にもあらわれる。図-3 には、実験値のはか Dressler や Whitham の理論曲線をも示す。

Cross は段波先端付近にて運動量保存則を適用し(図-4 参照)，その水面形を求め、初期水深  $h_0$  とその伝播速度が定まるとして、式を導いた。

$$\left(\frac{h}{h_0}\right)^2 = 2\left(\frac{x'}{h_0}\right)\left(\frac{g}{C^2}\right)\left(\frac{u}{u_0}\right)^2, \quad u_0 = \sqrt{gh_0} \quad (1)$$

ここで、 $C$  は Chezy の定数。著者らの実験結果を、この式および Ritter の理論と比較したのが図-5 である。

3. 段波の反射時の変形 簡単のために、段波が水平な海岸に進入する場合を考え、水門前面で完全反射する現象を Stokes の方法によつて検討する。そして、進入してきた段波の前後にあたる水深の比  $h_1/h_0$  を算出せよ。すると、段波が水門に衝突した後の水深  $h_2$  と  $h_0$  の比  $h_2/h_0$  をもとめることはできる(図-6 参照)。石原・岩垣らはこの理論を碎波後の周期波が直立壁面に衝突する場合に応用した。

このような方法によつて、段波の水門前面での衝突高さを推定する = ともできる(図-7 参照)

4. 段波の衝突による波压 “3”の面からの検討によれば、段波の衝突による波压の推定にあたつて、2つの問題を考えるのがよい。その

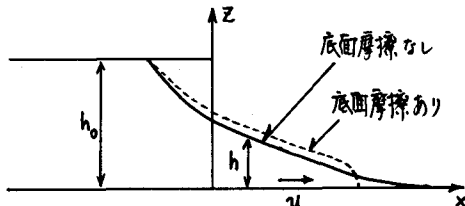


図-1 段波の特性と記号説明

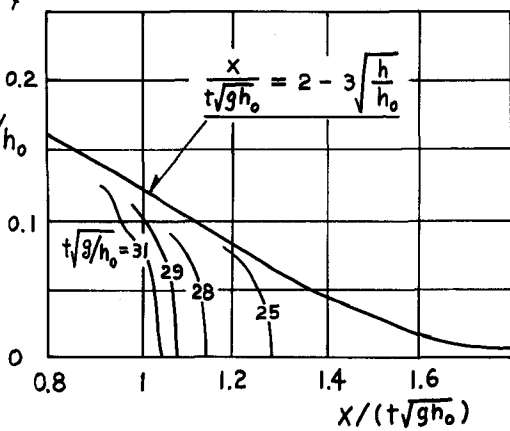


図-2 RITTER の理論と実験との比較

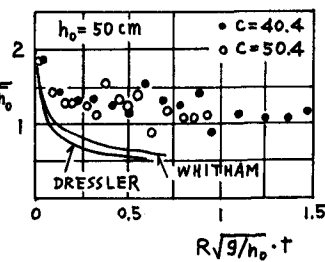


図-3 段波の波速

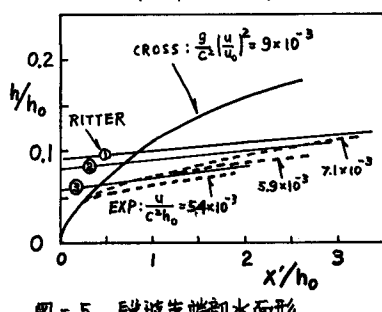


図-5 段波先端部水面形

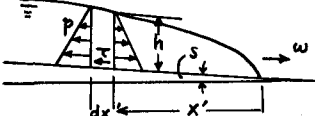


図-4 段波先端部説明図

1つはCrossのようには段波が構造物に作用する衝撲圧を評価することであり、他の1つは、段波の反射時の静水圧を検討することである。

(a) 段波の衝撲圧 Crossはくすぐ状の水塊が壁面に衝突

したときの衝撲圧に対するCumberbatchの理論の適用を試みた。著者らの実験における段波衝突時の衝撲圧のピーク以降に対するCumberbatchの理論にもとづく計算値がよく対応している(図-10参照)。Cumberbatchの理論によれば、段波による衝撲圧の最大値は底面に生ずる(図-8, 9参照)。そして、段波の最大衝撲圧は、衝突時の段波先端附近の水面こう配とその水塊の速度との関数としてあらわされる。段波が水1mに到達するまでの時間を $t_0 = a_0 x_0 / \sqrt{gh_0}$ とする。水面形がRitterの解で近似できるならば、水面こう配は、

$$(\partial h / \partial x)_0 = -(2/g)(2 - V_{A_0})(V_{A_0})(h_0 / x_0)$$

で年より、 $(\partial h / \partial x)_0 = \tan \theta$ 、また、 $x_0$ は段波発生地点より水内までの距離である。これは最大衝撲圧が発生する直前の段波の水面こう配を十分適確に推定できなければならぬことを示唆している。

段波先端附近の水面こう配をCrossの理論によつて求めると、次式のようになる。実験から $(h_0 / x')$ 、 $a_0$ およびCを推定すれば $\tan \theta = (\partial h / \partial x')$ が求まる(著者らの実験では $(h_0 / x')$ は3~5、 $a_0$ は0.6~0.8、 $(g/C^2) \sim 160$ )。

$$(\partial h / \partial x')_0 = (1/\sqrt{2})(h_0 / x')^{1/2} (1/a_0) (g/C^2)^{1/2}$$

これから $\theta \sim 5^\circ$ 。 $(P_{max} / \frac{1}{2} \rho u^2)$ と $(\partial h / \partial x')_0$ との関係は図-11に示す。この場合、 $C_p$ は1.1~1.2であり、

$$\rho / \frac{1}{2} \rho u^2 = C_p \{ 1 - (\beta / \beta_w)^2 \}; \quad \beta = z / ut, \quad \text{あるいは} \quad P_{max} = C_p \cdot \frac{1}{2} \rho u^2.$$

を用いて $P_{max}$ を算定した。

(b) 段波の反射時ににおける静水圧 段波が直立壁面で反射する場合、進入する段波の波高と前面水深との関係によつては、反射によつて段波の波高は増大するので、そのときの静水圧が重要な問題となる。著者らの実験では直立壁面と1/2津波防止水門の模型を用い、その上端は越水できるようになつていたので(天端高22cm)、その静水圧はとくに大きな問題として考慮しなくてもよい。

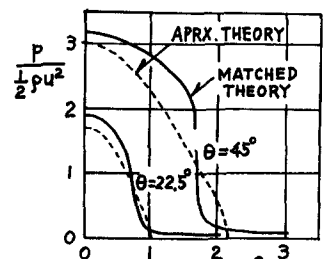
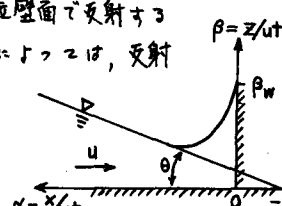
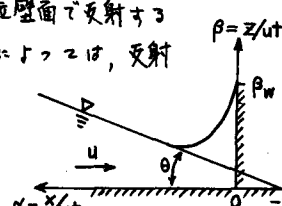


図-9 段波の衝撲圧の分布

5. 結論 上述のようには、津波の計画波形の算定には、段波をシミュレートして、その衝撲圧と反射時の静水圧の両者について検討すれば要があるといえる。

終に、御指導いただきいた土屋教授に謝意を表す。

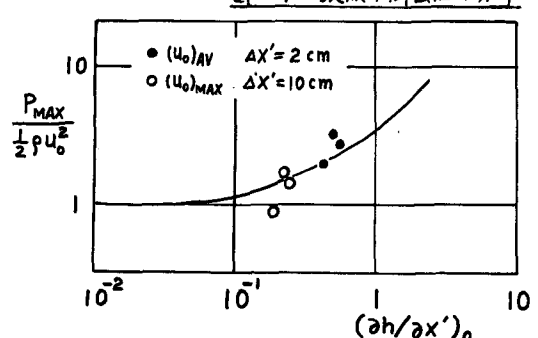
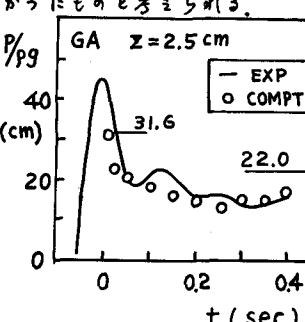


図-11 段波衝撲圧と段波先端形状との関係